

中国工業技術試験所 ○ 楢口 英昭

早川 典生

1. 序 タンカーや沿岸石油タンクの事故により広い海面上に一時に大量の油が流出した場合、特に沿岸海洋や閉鎖的内海での事故であれば沿岸住民や生物、水産業に与える被害はきわめて大きるものとなるため、流出した油の拡がりの物理的構造に関する研究、生物化学的影響に関する調査研究などこれまでに多くの報告がなされている。その物理的構造に着目すると、海面に一時に大量に流出した油の拡がりの支配因子としては重力、表面張力、慣性力、粘性力（これらは静水面上での拡がりの支配因子となる）、さらには風波、潮流等がある。例えばトリーキャニオン号事故の報告書は、座礁したタンカーから流出した油はパッチ状となって拡がり、その重心の移動は当時の風および潮流による表層水の動きとよく一致し、またパッチ面積の拡大は油自身の拡がり力（重力、慣性力、粘性力等）によるものと推論している。このように海上に流出した油は多くの因子の作用により拡がるがここでは最も基本的な静水面上での拡がりについて考察する。

Fay²⁾は静水面上に放出された油に作用する力の関係を次元解析の手法により分析して、拡がりの大きさは時間的に3つの領域に分けられる（表-1参照）とし、各領域での拡がり大きさと時間との関係の法則を決定した。それ以後 Hoult³⁾, Fannelop⁴⁾, Buckmaster⁵⁾等は各領域での拡がりを理論的に厳密に取扱うとともに、Fay のえた法則についてその拡がりの係数Cを決定しようと試みた。表-1に各領域での拡がり巾(l)と時間(t)の関係および係数値(C)を示す。しかし各領域でえられた係数値は様々でありまた実験報告も少なく特に水平2次元での実験は皆無で、拡がりを決定するパラメータCについて確立された状態とは言えない。ここでは水平1次元および2次元で行なった実験と表-1を比較しながら主に係数Cの値を検討する。 表-1 領域区分と拡がりの係数

2. 実験法 実験条件を表-2に示す。1次元の実験は巾50cm,長さ12m,水深60cmの水槽、および巾30cm,長さ6m,水深20cmの水路（この下流側は面積6×6m²,水深60cmの水槽に接続してあり、下流側は無限大領域とみなした）を用い、その上流端に一定量の油を貯めそれを瞬間放出し、2次元の実験は面積6×6m²,水深60cmの水槽中央に直径29cmおよび13cmの貯油槽をセットしその中に一定量の油を貯め瞬間放出し、その拡がりを測定した。使用油はB重油および流動パラフィン（実験4）である。

3. 水平1次元の拡がり 図-1は1次元の実験結果をI領域からII領域への遷移パラメータl_T, t_Tで整理している。図中実線はFannelop⁴⁾のえた係数C=1.39でI領域からII領域への移行を示している。実験値、例えば実験1,2ではt/t_Tが大きくなるにつれ l/l_T=1.39(t/t_T)^{3/4}の直線に漸近してI領域が存在し、II領域(l/l_T~(t/t_T)^{3/4})へと遷移していく。他の実験も同様の傾向を示す。t/t_Tが小さな領域で拡がりの勾配がゆるやかなのは、実験と解析上の初期条件の違いが原因である。すなわち解析上はI領域にありてt=0でl=0となるが、実験はt=0でl≠0である。特に、「油層の水平拡がりは油層厚に比べて十分に大きい」という解析上の前提に基づいた実験条件を設定すると、t→0で見かけ上拡がりの勾配は非常にゆるやかになる。これを補正するには時刻0でl=0となるような仮想の原点を設定する方法を考えられる。図-2はd(l)/dt|_{t=0}の直線と時間軸との交点から仮想原点とのずれ時間t₀を求めて各実験値を整理したものである。t₀が小さな領域での拡がりの勾配はI領域(2/3乗)にかなり近づくが、t=0でのl/l_Tが大きいほどt₀の誤差が大きく実験値もバラツキが大きい。

	I. 重力・慣性領域	II. 重力・粘性領域	III. 表面張力・粘性領域
1 次 元	1 - (Δg) ^{1/3} (V/b) ^{1/2} t ^{2/3}	1 - V _w ^{1/4} (Δg) ^{1/4} (V/b) ^{1/2} t ^{3/8}	1 - Ω ^{1/2} (P ₀ ² V _w) ^{1/4} t ^{3/4}
	C=1.39 (理論)	C=1.39 (理論)	C=0.665 (理論)
	C=1.6 (実験)	C=1.76 (実験)	C=1.33 (実験)
2 次 元	1 - (Δg) ^{1/4} V ^{1/4} t ^{1/2}	1 - V _w ^{1/2} (Δg) ^{1/6} t ^{1/4}	1 - Ω ^{1/2} (P ₀ ² V _w) ^{1/4} t ^{3/4}
	C=1.14 (理論)	C=0.978 (理論)	C=0.128 (理論)
	C=1.12 (実験)	C=1.12 (実験)	

I: 拡がり巾, V: 放出油量, b: 水路巾, Ω: 表面張力
P₀: 水の密度, V_w: 水の粘性係数

表-2 実験条件

番号	放出油量(V)	水温	備考
1 次 元	(W)(L)(H) 50cm×100cm×3cm	13.6°C	B重油 比重0.906 (27°C)
	50×100×5	15.6°C	
	50×100X1	13.4°C	動粘度係数 425cst
	50×100X1	14.4°C	(30°C)
	30×200×3	9.6°C	
	30×200X1	12.0°C	
2 次 元	30×200×0.5	12.0°C	
2 次 元	(Φ)29cm×14.5cm×4.5cm	20.5°C	
	29×151	24.4°C	
	29×454	25.6°C	
	29×151	24.2°C	
	14×130	24.5°C	
			• 流動パラフィン 比重0.855 (30°C)

I領域における拡がりの係数Cを決定する際に解析上問題となるのは、油膜先端の速度 $U_{LE} = \frac{g}{\rho_w} (4g h_{LE})^{1/2}$ の定数 Δ の値である。ここに $\Delta = 1 - \frac{\rho_{oil}}{\rho_{water}}$, h_{LE} は油膜先端の厚さである。Fannelopは $\Delta=1.0$ として $C=1.39$ を与えた。今回の実験からもこの値がほぼ妥当と考えられる。

次にIIの領域では理論的に係数Cを決定したもののはFannelopの $C=1.39$, Buckmasterの $C=1.76$ がある。両者とも水深無限大での解析で、理論上の違いは oil-water interfaceでのせん断抵抗をどのように扱うかである。実験では $C \approx 1.15$ であり Fannelopの $C=1.39$ が最も近いが、それでもやや大きい。その原因としては境界条件の差、すなわち実験では有限水深で $x=0$ は壁面であり油肩に連続される流量を補うため顕著な逆流部が形成される。実験1~4は水深60cmで油膜厚さに比べ十分大きな水深であるが明らかな逆流部が観察される。しかし上記の理論ではこのような現象は生じず、実験は理論と比較してせん断抵抗が大きくなり拡がりの係数Cが小さくなることが考えられる。瀬戸内沿岸のような浅海部に大量の油が流出した場合には、この実験のような境界条件の設定が合理的とも考えられるが、さらに検討の必要がある。

4. 水平2次元の拡がり 図-3は2次元の実験結果で、Fayが与えたI, II, IIIの各領域が存在することを示すが、各領域での係数Cはこれまでの理論値と大きく相違している。I領域でFannelopが与えたCは 1.14 (1式で $\Delta=1$) であるが実験値は $C \approx 2.5$ となる。実験は水槽面積が小さく、実験初期に「油肩の水平拡がりは油肩厚に比べて十分大きい」という条件を満たしていない。したがって $t=0$ で油肩動水勾配が大きく拡がりが急激でCの値も大きくなつたと考えられる。

事実Fannelopの理論でも $\Delta=2$ になると $C \rightarrow \infty$ となり、Houltの理論でも $\Delta > 1.4$ ではCの有意な値が定まらないなど、実験初期に(1)式の U_{LE} が大きいとCもかなり大きくなる可能性がある。次に実験9, 11は同一条件にもかかわらずII領域からIII領域にかけての傾向がかなり違っている。これはFayの解析結果からもわかるように、放出油量が少ないとII領域が現われにくく、またIIIの領域は水質によって表面張力の大きさが変りやすく拡がりが不安定なことが原因であろう。また、実験8, 10でII領域以後の拡がりがゆるやかなのは水槽側壁の影響で拡がりが抑えられたためである。

油膜の2次元拡がりについては次元解析による法則の妥当性を確認できた程度で、拡がりの係数Cの決定などの物理的構造を明確にするにはさらに検討が必要である。

〈参考文献〉

- 1) J.E.スミス編著, 日高, 宇田英郎; トロ-キヤニオン号海難による海洋汚染と生物環境, 日高海洋科学振興財団
- 2) Fay J.A.; Oil on the Sea, ed. D.P. Hoult, 53-63, New-York, Plenum 1969
- 3) Hoult D.P.; Oil Spreading on the Sea, Annual Review of Fluid Mech., Vol. 59, 1972
- 4) Fannelop T.K. and Waldman G.D.; Dynamics of Oil Slicks, AIAA JOURNAL, Vol. 10, 1972
- 5) Buckmaster J.; Viscous-gravity Spreading of an Oil Slick, Jour. of Fluid Mech. Vol. 59, 1973

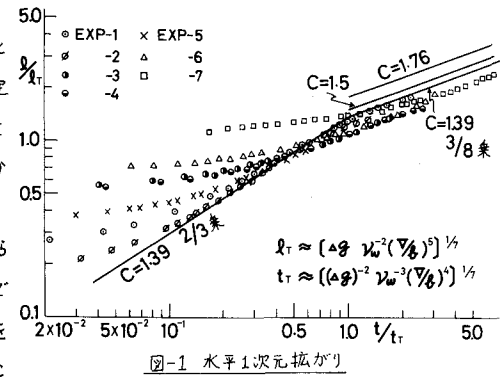


図-1 水平1次元拡がり

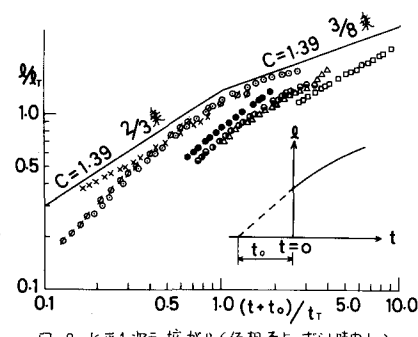


図-2 水平1次元拡がり(仮想原点,すら時間t_0)

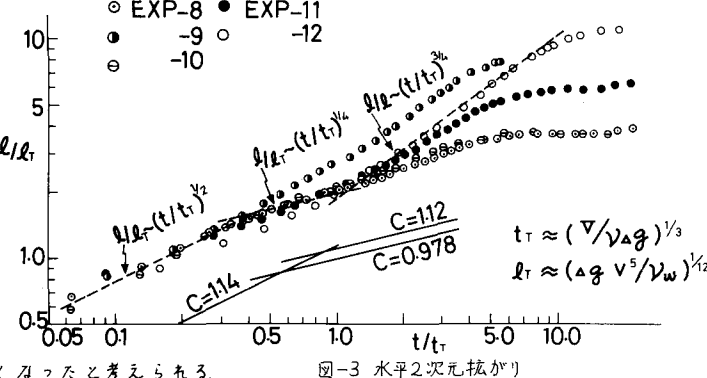


図-3 水平2次元拡がり